

## ЛИТЕРАТУРА

1. Smith W. D., Land C. E. Scattering-mode ferroelectric-photoconductor image storage and display devices.— Appl. Phys. Lett., 1972, v. 20, N 4, p. 169.
2. Drake M. D. PLZT matrix-type block data composers.— Appl. Opt., 1974, v. 13, N 2, p. 347.
3. А. с. 805239 (СССР). Управляемый транспарант/Б. В. Ульянов, Э. М. Яшин, В. А. Жаботинский.— Опубл. в Б. И., 1981, № 6.
4. Ready J. F., Brinda R. J. Switching speed of electrically controlled scattering in PLZT.— J. Appl. Phys., 1973, v. 44, N 11, p. 5185.
5. Pat. 3. 702.724 (USA). Ferroelectric ceramic plate electrooptical light scattering device and method/C. E. Land, W. D. Smith.— Publ. 14. XI, 72.
6. Ульянов Б. В., Чегис И. Л. Расчет краевого поля в оптоэлектронных устройствах на основе керамики ЦТСЛ.— Автометрия, 1981, № 3.

Поступила в редакцию 5 января 1984 г.

УДК 535.24 : 534

В. И. ЕФАНОВ, Е. С. КОВАЛЕНКО

(Томск)

## ДВУМЕРНОЕ СКАНИРОВАНИЕ СВЕТА ВОЛНОВОДНЫМИ АКУСТИЧЕСКИМИ МОДАМИ ПЛАСТИНЫ

Основной задачей при разработке акустооптических (АО) дефлекторов и АО-устройств ввода радиосигналов в системы оптической обработки информации является получение высокой разрешающей способности, увеличение которой достигается в основном применением звукопроводов больших размеров с малой скоростью звука. При этом число разрешимых элементов  $N$ , как правило, не превышает  $10^3$ , что явно недостаточно, например, для обработки радиосигналов с большой базой.

В оптоэлектронных устройствах нашли применение нормальные волны (в частности, волны Лэмба), распространяющиеся в пластинах [1]. Возможность использования дисперсии нормальных волн в АО-устройствах была впервые рассмотрена в [2]. Однако выбранная геометрия АО-взаимодействия и одновременное возбуждение мод нескольких порядков не позволили получить практических результатов, необходимых для создания АО-устройств с высокой разрешающей способностью.

При исследовании дифракции света на акустических модах высших порядков, распространяющихся в

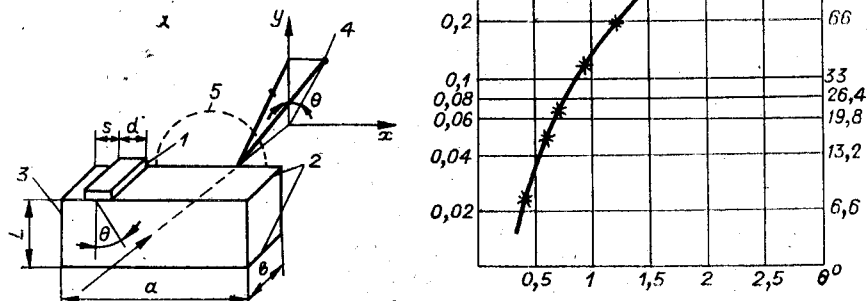


Рис. 1. Волноводный АОМ:

— геометрия акустооптического взаимодействия, б — зависимость разрешающей способности от угла  $\theta$ : 1 — преобразователь радиосигнала в акустический, 2 — базисные плоскости пластины, 3 — грань, перпендикулярная базисным плоскостям, 4 — дифракционный максимум, 5 — линза.

плоскопараллельной пластине толщиной  $L$  из  $\text{LiNbO}_3$  (геометрия АО-взаимодействия изображена на рис. 1, а), нами было обнаружено, что при определенном размере  $d$  преобразователя 1 и его местоположений дифракционный максимум 4 (ДМ) при изменении частоты последовательно сканирует по оси  $x$  (быстро) и по оси  $y$  (медленно), формируя картину растра. Если частота радиосигнала совпадает с критической частотой  $F_m = mv/2L$  моды, то волновой вектор звука  $\mathbf{K}$  перпендикулярен базисным плоскостям пластины 2 и ДМ расположен на оси  $y$ . При изменении частоты на  $\Delta f$  волновой вектор поворачивается на угол  $\theta = \operatorname{Re} \gamma_m/K$ , где  $\gamma_m$  — постоянная распространения волноводной моды. При этом ДМ движется по оси  $x$ , и, когда  $\Delta f = f_m = v/2L$ , условия зарождения выполняются для  $(m+1)$ -моды, а ДМ вновь на оси  $y$ , причем смещается по ней на расстояние  $\Delta y$ .

В результате решения задачи о возбуждении нормальных волн в пьезопластинках [3] было получено выражение для амплитуды  $m$ -й волноводной моды  $A$ , модуль которой в приближении изотропной среды имеет вид

$$A = \frac{\mathcal{F}}{c} \frac{d^2}{L} \frac{\sqrt{\sin^2 \mathcal{H} \mathcal{E} \operatorname{ch}^2 \mathcal{L} \mathcal{E} + \cos^2 \mathcal{H} \mathcal{E} \operatorname{sh}^2 \mathcal{L} \mathcal{E}}}{\mathcal{E}^2 (\mathcal{H}^2 + \mathcal{L}^2)}, \quad (1)$$

где  $\mathcal{F}$  — плотность возбуждающей силы;  $c$  — модуль упругости;  $\mathcal{E} = \pi d/\sqrt{\Lambda_0 L}$ ,  $\Lambda_0$  — длина ультразвуковой волны (УЗВ) на центральной частоте  $F_0$  диапазона  $\Delta F$ , а  $\mathcal{H}$  и  $\mathcal{L}$  определяются выражениями

$$\mathcal{H}^2 = 1/2(\sqrt{\Omega^2 + (\alpha + \beta\Omega)^2} + \Omega), \quad \mathcal{L}^2 = 1/2(\sqrt{\Omega^2 + (\alpha + \beta\Omega)^2} - \Omega),$$

здесь  $\Omega = \Delta f/f_m$  — нормированная частота ( $0 \leq \Omega \leq 1$ );  $\alpha = \alpha' L/\pi$  характеризует потери УЗВ на распространение ( $\alpha'$  — коэффициент затухания); величина  $\beta$  характеризует потери на отражение от базисных плоскостей и при малых углах  $\theta$  с большой точностью может быть определена по формуле  $\beta = \Lambda/\pi L(2v_s/v_L)^3$ , где  $v_L$  и  $v_s$  — скорости продольной и трансформированной при отражении сдвиговой волны. Из анализа выражения (1) следует, что для последовательного возбуждения мод высших порядков размер преобразователя  $d$  на центральной частоте диапазона должен удовлетворять условию

$$d = \sqrt{\Lambda_0 L}/2. \quad (2)$$

Амплитуда моды сильно зависит от  $\Omega$ . Можно показать, что при расположении преобразователя на расстоянии  $s = 0,2d$  от грани 3 (с коэффициентом отражения УЗВ  $R = 1$ ), строго перпендикулярной базисным плоскостям, неравномерность амплитуды моды в частотном интервале  $\Omega$  и полосе частот  $\Delta F = 0,5F_0$  не превышает 3 дБ.

Зависимость  $\Omega$  от угла  $\theta$ , а следовательно, и разрешающей способности  $\delta f_x$  по частоте носит квадратичный характер  $\Omega = L\theta^2/\Lambda$  при  $\alpha$  и  $\beta \ll 1$ . Учет конечности  $\alpha$  и  $\beta$  приводит к тому, что даже на критической частоте  $\theta$  имеет конечное значение  $\theta' = \sqrt{\alpha' L}/\pi$ , что может вызывать уширение размера ДМ по оси  $x$ .

Расчет предельного числа разрешимых элементов по критерию Рэлея показывает, что разрешающая способность зависит только от потерь энергии УЗВ, определяется по формуле

$$N_1 = \frac{1}{2\pi\beta} \ln \frac{\alpha + \beta}{\alpha} \quad (3)$$

и достигается только при длине звукопровода  $a_1 = \sqrt{\Lambda L}/\pi(\alpha + \beta)$  (длина затухания поля в  $e$  раз при  $\Omega = 1$ ). Применимый на практике размер звукопровода в несколько раз меньше. При  $a < a_1$  число разрешимых элементов с достаточной точностью может быть рассчитано по формуле

$$N_x = a/\sqrt{\Lambda L}. \quad (4)$$

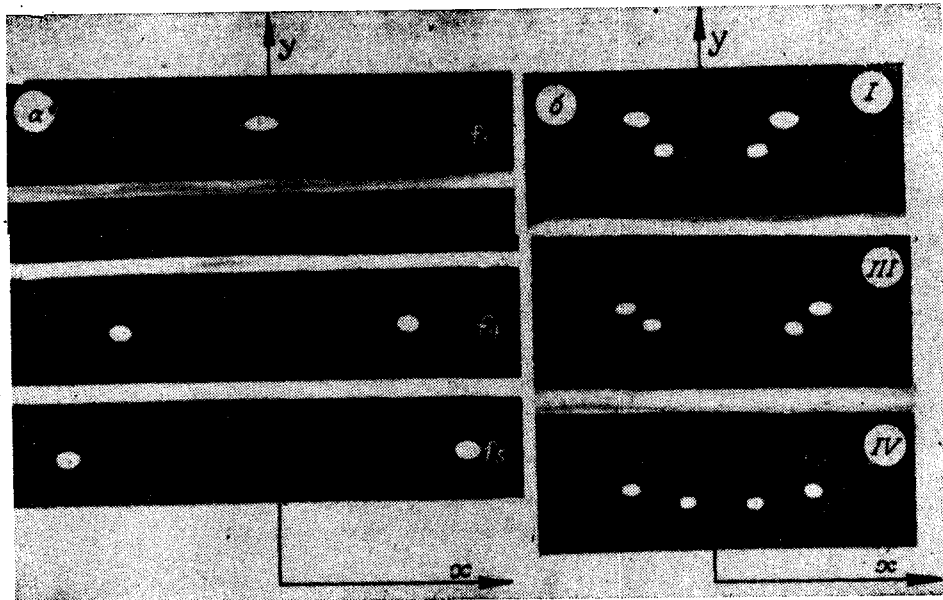


Рис. 2. Распределение дифрагированного поля в фокальной плоскости линзы:  
а — изменения положения дифракционного максимума по оси  $x$  при изменении частоты  $f_1 = 306145$  кГц;  $f_2 = 306165$  кГц;  $f_3 = 306195$  кГц;  $f_4 = 306299$ ;  $f_5 = 306358$ ; б — положение дифракционных максимумов при наличии двух радиосигналов  $f_1$  и  $f_2$  с разностью частот: I — 2982; II — 1633; III — 1064; IV — 1039 кГц.

Число разрешимых элементов по оси  $y$  определяется как обычно, а общее число разрешимых элементов при  $\Delta F = 0,5F_0$  равно

$$N = 0,5 a \sqrt{\frac{LF_0^3}{v^3}}. \quad (5)$$

Средняя на частотном интервале  $\Omega$  разрешающая способность по оси  $x$

$$\delta f_x = f_m/N_x = v\sqrt{\Lambda/L}/2a. \quad (6)$$

Численные оценки показывают, что если в качестве звукопровода использовать кристалл  $\text{LiNbO}_3$ , размерами  $L \times a = 10 \times 24$  мм $^2$ , с поверхности  $X$ -среза которого ( $v_L = 6,6 \times 10^5$  см/с,  $v_s = 4,07 \cdot 10^5$  см/с,  $\alpha' = -0,15$  дБ/см · ГГц $^2$ ) осуществляется возбуждение акустических мод в диапазоне  $\Delta F = 0,2$  ГГц с центральной частотой  $F_0 = 0,5$  ГГц, то число разрешимых элементов  $N_x = 90$  (при  $a_1 = 5,3$  см),  $N_x = 66$ ,  $N_y = 300$ ,  $N = 2 \cdot 10^4$ ; разрешающая способность  $\delta f_x = 5$  кГц, при этом  $d = 180$  мкм,  $\theta = 2^\circ$ ,  $\theta' = 4,6'$ , а  $\alpha = 1,4 \cdot 10^{-3}$ ,  $\beta = 0,78 \cdot 10^{-3}$ .

Экспериментальные исследования показали, что при выбранных выше размерах звукопровода и при  $F_0 = 0,3$  ГГц с  $\Delta F = 0,1$  ГГц средняя по частотному интервалу  $\Omega$  разрешающая способность  $\delta f_x = 15$  кГц. На рис. 1, б приведена зависимость  $\delta f$  от угла  $\theta$ . Число разрешимых элементов при отсчете по нулевому уровню  $N_x = 24$ . Возбуждение продольной УЗВ осуществлялось с поверхности  $x$ -среза  $\text{LiNbO}_3$  тангенциальной компонентой электрического поля торцевого преобразователя ( $d = 280$  мкм), выполненного методом вакуумного напыления меди через маску. На рис. 2, а представлено изменение положения ДМ в фокальной плоскости линзы по оси  $x$ , а на рис. 2, б — положение ДМ при нали-

ции на входе двух непрерывных радиосигналов при постепенном сближении их частот.

Проведенные эксперименты полностью подтвердили теоретические расчеты и показали, что дифракция света на акустических модах может быть применена для создания, с одной стороны, двухкоординатных дефлекторов с большим числом разрешимых элементов, с другой — волноводных АОМ, используемых в качестве устройств ввода радиосигналов в системы оптической обработки. Применение волноводных АОМ позволяет представлять радиосигналы с большой базой в форме раstra и тем самым реализует одно из главных достоинств оптических систем обработки — их двумерный характер.

#### ЛИТЕРАТУРА

1. Боровков О. В., Кучеров И. Я. Нормальные упругие волны в пластинах кристаллов  $C_{3v}$ .— УФЖ, 1972, т. 17, № 12, с. 1980—1988.
2. Коцаренко Н. Я., Фалько Г. Л. Рассеяние света в фотоупругих пластинах поперечными акустическими волнами.— Радиотехника и электроника, 1975, т. 20, № 12, с. 2519—2533.
3. Ефанов В. И., Коваленко Е. С. Возбуждение нормальных волн в анизотропных пьезопластинах и исследование их методом дифракции света.— В кн.: Материалы XII Всесоюз. конф. по акустоэлектронике и квантовой акустике. Саратов: СГУ, 1983, ч. 1, с. 338.

*Поступила в редакцию 16 января 1984 г.*

---